

通信原理



第7章 数字带通传输系统

1. 重点内容

(1) 二进制数字调制原理DPSK

差分编码、相位比较法解调、极性比较法解调

(2) QPSK波形、存在的问题和解决方案

(3) 二进制数字调制系统的性能比较

1 误码率——可靠性

$$r = \frac{a^2}{2\sigma_n^2}$$

$$\sigma_n^2 = n_0 B = n_0 \cdot \frac{2}{T_s}$$

	相干解调		非相干解调
	精确值	近似值	
2ASK	$P_e = \frac{1}{2} \operatorname{erfc}\left(\sqrt{\frac{r}{4}}\right)$	$\approx \frac{1}{\sqrt{\pi r}} e^{-r/4}$	$P_e = \frac{1}{2} e^{-r/4}$
2FSK	$P_e = \frac{1}{2} \operatorname{erfc}\left(\sqrt{\frac{r}{2}}\right)$	$\approx \frac{1}{\sqrt{2\pi r}} e^{-r/2}$	$P_e = \frac{1}{2} e^{-r/2}$
2PSK	$P_e = \frac{1}{2} \operatorname{erfc}\left(\sqrt{r}\right)$	$\approx \frac{1}{2\sqrt{\pi r}} e^{-r}$	
2DPSK	$P_e = \operatorname{erfc}(\sqrt{r})$	$\approx \frac{1}{\sqrt{\pi r}} e^{-r}$	$P_e = \frac{1}{2} e^{-r}$

讨论

- **r** 一定，相同解调方式（如相干解调），抗高斯白噪声性能**优劣**的顺序：**2PSK、2DPSK、2FSK、2ASK**

2ASK	$P_e = \frac{1}{2} \operatorname{erfc}\left(\sqrt{\frac{r}{4}}\right)$	$\approx \frac{1}{\sqrt{\pi r}} e^{-r/4}$	$P_e = \frac{1}{2} e^{-r/4}$
2FSK	$P_e = \frac{1}{2} \operatorname{erfc}\left(\sqrt{\frac{r}{2}}\right)$	$\approx \frac{1}{\sqrt{2\pi r}} e^{-r/2}$	$P_e = \frac{1}{2} e^{-r/2}$
2PSK	$P_e = \frac{1}{2} \operatorname{erfc}\left(\sqrt{r}\right)$	$\approx \frac{1}{2\sqrt{\pi r}} e^{-r}$	
2DPSK	$P_e = \operatorname{erfc}(\sqrt{r})$	$\approx \frac{1}{\sqrt{\pi r}} e^{-r}$	$P_e = \frac{1}{2} e^{-r}$

讨论

- **r** 一定，相同解调方式（如相干解调），抗高斯白噪声性能**优劣**的顺序：**2PSK、2DPSK、2FSK、2ASK**

2ASK	$P_e = \frac{1}{2} \operatorname{erfc} \left(\sqrt{\frac{r}{4}} \right)$	$\approx \frac{1}{\sqrt{\pi r}} e^{-r/4}$	$P_e = \frac{1}{2} e^{-r/4}$
2FSK	$P_e = \frac{1}{2} \operatorname{erfc} \left(\sqrt{\frac{r}{2}} \right)$	$\approx \frac{1}{\sqrt{2\pi r}} e^{-r/2}$	$P_e = \frac{1}{2} e^{-r/2}$
2PSK	$P_e = \frac{1}{2} \operatorname{erfc} \left(\sqrt{r} \right)$	$\approx \frac{1}{2\sqrt{\pi r}} e^{-r}$	

- **Pe**一定，所需的信噪比： **$r_{2ASK} = 2r_{2FSK} = 4r_{2PSK}$**

讨论

- **r** 一定，相同解调方式（如相干解调），抗高斯白噪声性能**优劣**的顺序：**2PSK、2DPSK、2FSK、2ASK**

2ASK	$P_e = \frac{1}{2} \operatorname{erfc} \left(\sqrt{\frac{r}{4}} \right)$	$\approx \frac{1}{\sqrt{\pi r}} e^{-r/4}$	$P_e = \frac{1}{2} e^{-r/4}$
2FSK	$P_e = \frac{1}{2} \operatorname{erfc} \left(\sqrt{\frac{r}{2}} \right)$	$\approx \frac{1}{\sqrt{2\pi r}} e^{-r/2}$	$P_e = \frac{1}{2} e^{-r/2}$

- **r** 一定，相同调制方式： $P_{e \text{ 相干}} < P_{e \text{ 非相干}}$

- **Pe**一定，所需的信噪比： $r_{2\text{ASK}} = 2r_{2\text{FSK}} = 4r_{2\text{PSK}}$

讨论

- r 一定，相同解调方式（如相干解调），抗高斯白噪声性能优劣的顺序：**2PSK、2DPSK、2FSK、2ASK**

- P_e 一定，所需的信噪比： $r_{2ASK} = 2r_{2FSK} = 4r_{2PSK}$

$$(r_{2ASK})_{dB} = 3_{dB} + (r_{2FSK})_{dB} = 6_{dB} + (r_{2PSK})_{dB}$$

- r 一定，相同调制方式： $P_{e\text{相干}} < P_{e\text{非相干}}$

- 大信噪比 ($r \gg 1$) 时，两者性能相差不大。

2 频带带宽——有效性

- 设基带信号的谱零点带宽为 $R_B=1/T_s$ ，则有：

$$B_{2\text{ASK}} = B_{2\text{PSK}} = B_{2\text{DPSK}} = 2R_B = \frac{2}{T_s}$$

$$B_{2\text{FSK}} = |f_2 - f_1| + \frac{2}{T_s}$$

- $B_{2\text{FSK}}$ 不仅与基带信号带宽有关，且与两个载频之差有关。
- 在 R_B 一定时，2FSK 的频带利用率最低，有效性最差。

3 对信道特性变化的敏感性

2ASK: $b^* = a/2$

易受信道参数变化的影响。
不适于在变参信道中传输。

2PSK: $b^* = 0$ (等概时)

不易受信道参数变化的影响。

2FSK: 不需要人为地设置判决门限，因而对信道的变化不敏感。适用于变参信道传输场合。

4 设备的复杂度

通常，非相干方式比相干方式简单。

这是因为相干解调需要提取相干载波，故设备相对复杂些，成本也略高。

综述

- 以上比较结果，为选择调制解调方式提供了一定的理论参考依据。



第10章 信源编码

1. 重点内容

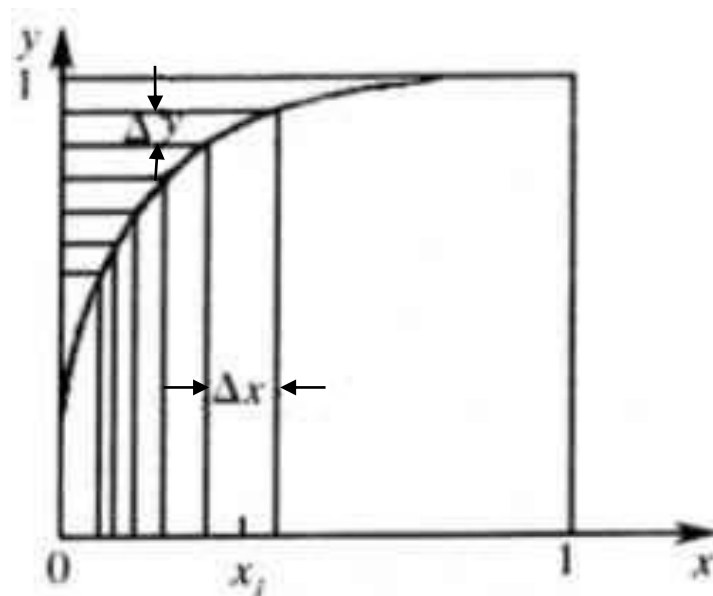
第10章 信源编码

◆ (1) 非均匀量化原理

- 在非均匀量化时，量化间隔随信号抽样值的不同而变化。信号抽样值小时，量化间隔 Δv 也小；信号抽样值大时，量化间隔 Δv 也变大。
- 实际中，非均匀量化的实现方法通常是在进行量化之前，先将信号抽样值压缩，再进行均匀量化。这里的压缩是用一个非线性电路将输入电压 x 变换成输出电压 y ： $y = f(x)$

□ 如右图所示：

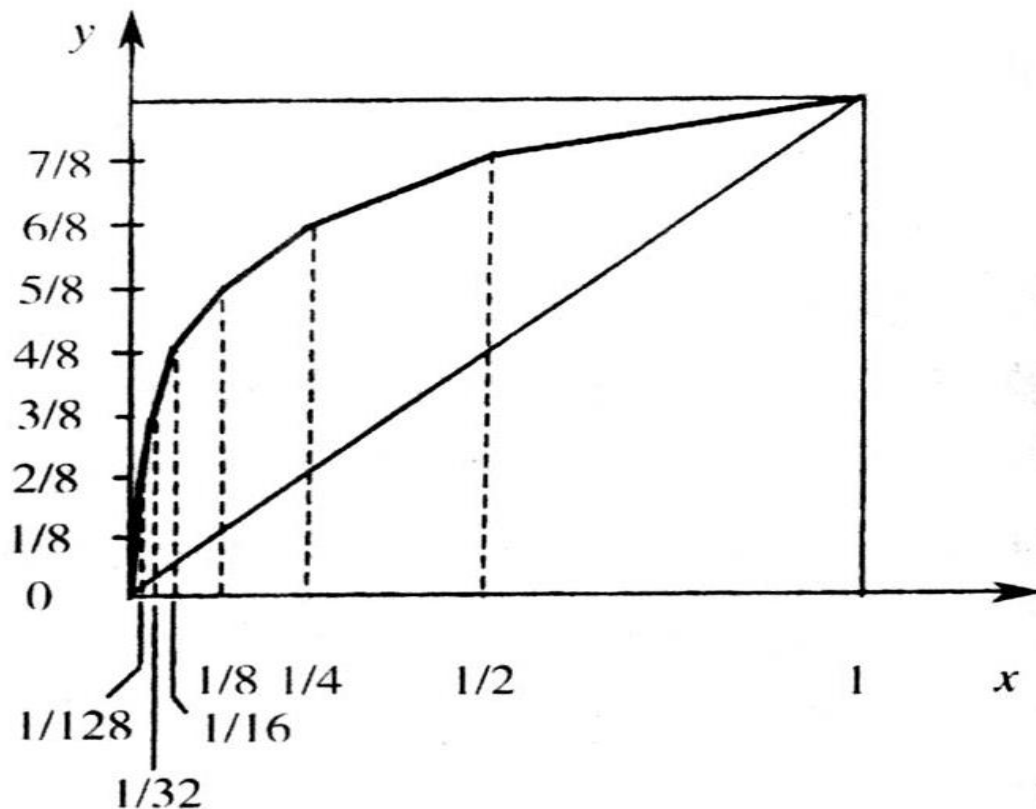
图中纵坐标 y 是均匀刻度的，横坐标 x 是非均匀刻度的。所以输入电压 x 越小，量化间隔也就越小。也就是说，小信号的量化误差也小。



第10章 信源编码

◆ 13折线压缩特性 - A律的近似

- A律表示式是一条平滑曲线，用电子线路很难准确地实现。这种特性很容易用数字电路来近似实现。13折线特性就是近似于A律的特性。在下图中示出了这种特性曲线：





第10章 信源编码

比较13折线特性和15折线特性的第一段斜率可知，15折线特性第一段的斜率（ $255/8$ ）大约是13折线特性第一段斜率（16）的两倍。

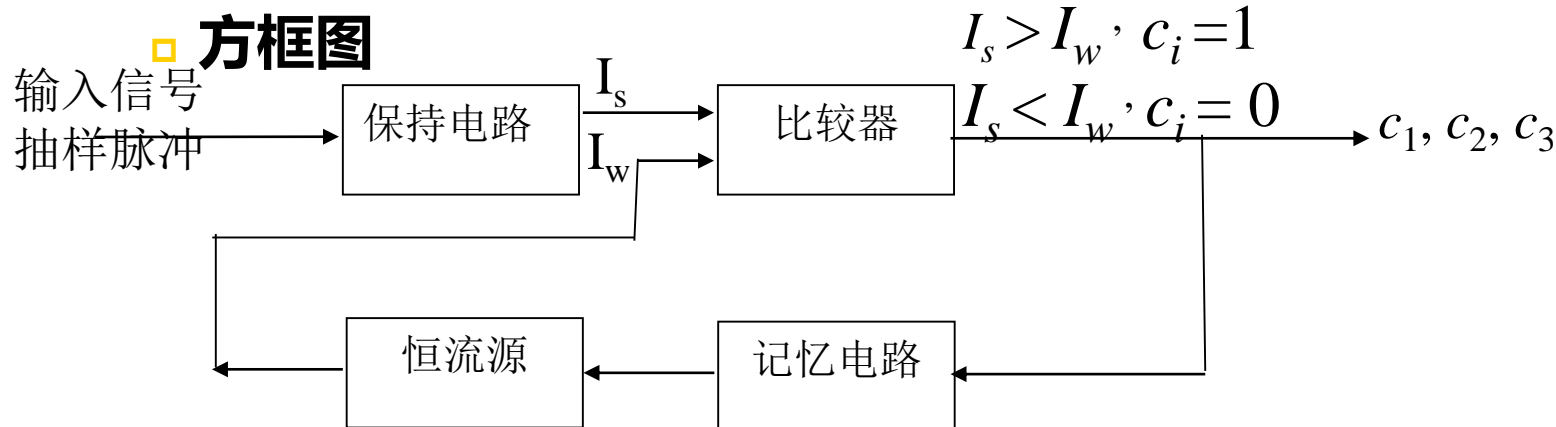
所以，15折线特性给出的小信号的信号量噪比约是13折线特性的两倍。

但是，对于大信号而言，15折线特性给出的信号量噪比要比13折线特性时稍差。这可以从对数压缩式看出，在A律中A值等于87.6；但是在 μ 律中，相当A值等于94.18。A值越大，在大电压段曲线的斜率越小，即信号量噪比越差。

第10章 信源编码

(2) 脉冲编码调制

◆ 逐次比较法编码原理



➤ 图中示出一个3位编码器。其输入信号抽样脉冲值在0和7.5之间。它将输入模拟抽样脉冲编成3位二进制编码 $c_1 c_2 c_3$ 。

➤ 图中输入信号抽样脉冲电流 I_s 由保持电路短时间保持，并和几个称为权值电流的标准电流 I_w 逐次比较。每比较一次，得出1位二进制码。权值电流 I_w 是在电路中预先产生的。 I_w 的个数决定于编码的位数，现在共有3个不同的 I_w 值。因为表示量化值的二进制码有3位，即 $c_1 c_2 c_3$ 。它们能够表示8个十进制数，从0至7，如下表所示。



第10章 信源编码

量化值	c_1	c_2	c_3
0	0	0	0
1	0	0	1
2	0	1	0
3	0	1	1
4	1	0	0
5	1	0	1
6	1	1	0
7	1	1	1

第10章 信源编码

◆ 13折线法编码

在13折线法中采用的折叠码有8位。其中第一位 c_1 表示量化值的极性正负。后面的7位分为段落码和段内码两部分，用于表示量化值的绝对值。其中第2至4位($c_2 c_3 c_4$)是段落码，共计3位，可以表示8种斜率的段落；其他4位($c_5 \sim c_8$)为段内码，可以表示每一段落内的16种量化电平。段内码代表的16个量化电平是均匀划分的。所以，这7位码总共能表示 $2^7 = 128$ 种量化值。在下面的表中给出了段落码和段内码的编码规则。

第10章 信源编码

□ 段落码编码规则

段落序号	段落码 $c_2 c_3 c_4$	段落范围 (量化单位)
8	1 1 1	1024~2048
7	1 1 0	512~1024
6	1 0 1	256~512
5	1 0 0	128~256
4	0 1 1	64~128
3	0 1 0	32~64
2	0 0 1	16~32
1	0 0 0	0~16

第10章 信源编码

样值脉冲极性	量化级序号	自然二进制码	折叠二进制码
正极性部分	15	1 1 1 1	1 1 1 1
	14	1 1 1 0	1 1 1 0
	13	1 1 0 1	1 1 0 1
	12	1 1 0 0	1 1 0 0
	11	1 0 1 1	1 0 1 1
	10	1 0 1 0	1 0 1 0
	9	1 0 0 1	1 0 0 1
	8	1 0 0 0	1 0 0 0
负极性部分	7	0 1 1 1	0 0 0 0
	6	0 1 1 0	0 0 0 1
	5	0 1 0 1	0 0 1 0
	4	0 1 0 0	0 0 1 1
	3	0 0 1 1	0 1 0 0
	2	0 0 1 0	0 1 0 1
	1	0 0 0 1	0 1 1 0
	0	0 0 0 0	0 1 1 1



第10章 信源编码

(3) 增量调制

§ 10.7.2 增量调制系统中的量化噪声

译码器的最大跟踪斜率:

$$k = \frac{\sigma}{\Delta t} = \sigma \cdot f_s$$

■ 不过载条件:

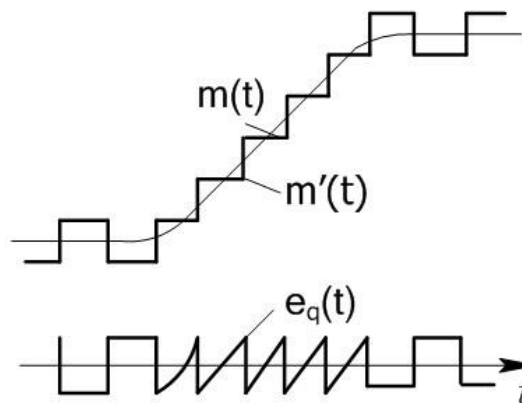
$$\left| \frac{dm(t)}{dt} \right|_{\max} \leq \sigma \cdot f_s$$



如何选择 σ 和 f_s

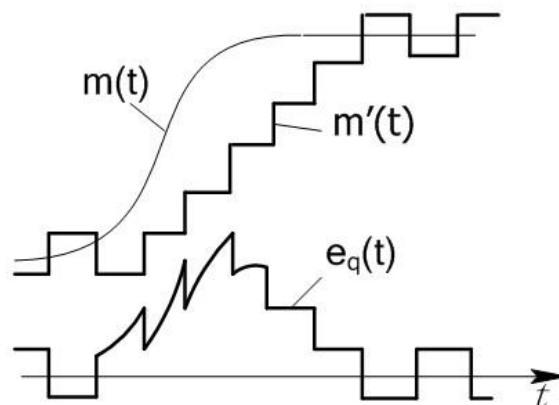
(1) 一般量化噪声

$\leq \sigma$



(2) 过载量化噪声

很大





为了避免过载和增大编码范围，应合理选择 σ 和 f_s !

◆ σ 选大：有利于减小过载噪声，但一般量化噪声增大。

——原因：简单 ΔM 的量化台阶是固定的，难以使两者都不超过要求。

——解决：采用自适应 ΔM ，使量化台阶随信号的变化而变化。

◆ f_s 选大：对减小过载噪声和一般量化噪声都有利。因此，对于语音信号而言， ΔM 的抽样频率在几十千赫 ~ 百余千赫。

$$(f_s)_{\Delta M} \gg (f_s)_{\text{PCM}}$$

编码范围:

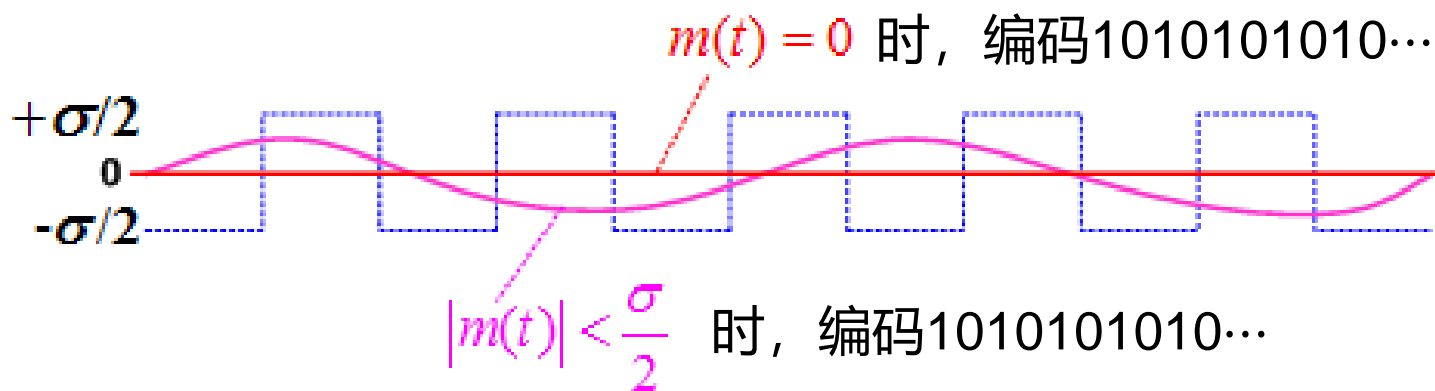
$$A_{\min} \sim A_{\max}$$

◆ 起始编码电平

$$A_{\min} = \sigma/2$$

含义：当信号的峰值电压 $> \sigma/2$ 时，才能正常编码。

这时，输出序列才能反映信号的变化情况。



最大编码电平 A_{\max}

设 $m(t) = A \sin \omega_k t$

其斜率 $\frac{dm(t)}{dt} = A\omega_k \cos \omega_k t$

若不过载，应要求：

$$\left| \frac{dm(t)}{dt} \right|_{\max} \leq \sigma \cdot f_s$$

即

$$A\omega_k \leq \sigma \cdot f_s$$

最大编码电平（临界过载振幅）为：

$$A_{\max} = \frac{\sigma \cdot f_s}{\omega_k} = \frac{\sigma \cdot f_s}{2\pi f_k}$$

可见，当跟踪斜率一定时，允许的信号幅度随信号频率 ω_k 的增加而减小，这将导致语音高频段的信号量噪比下降。

信号量噪比

◆ 信号最大功率：由 A_{\max} 可得

$$S_{\max} = \frac{A_{\max}^2}{2} = \frac{\sigma^2 f_s^2}{2\omega_k^2} = \frac{\sigma^2 f_s^2}{8\pi^2 f_k^2}$$

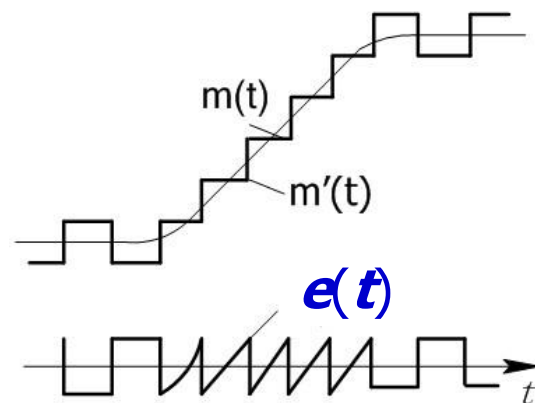
◆ 量化噪声功率：

假定不过载，基本量化噪声为：

$$e(t) = m'(t) - m(t)$$

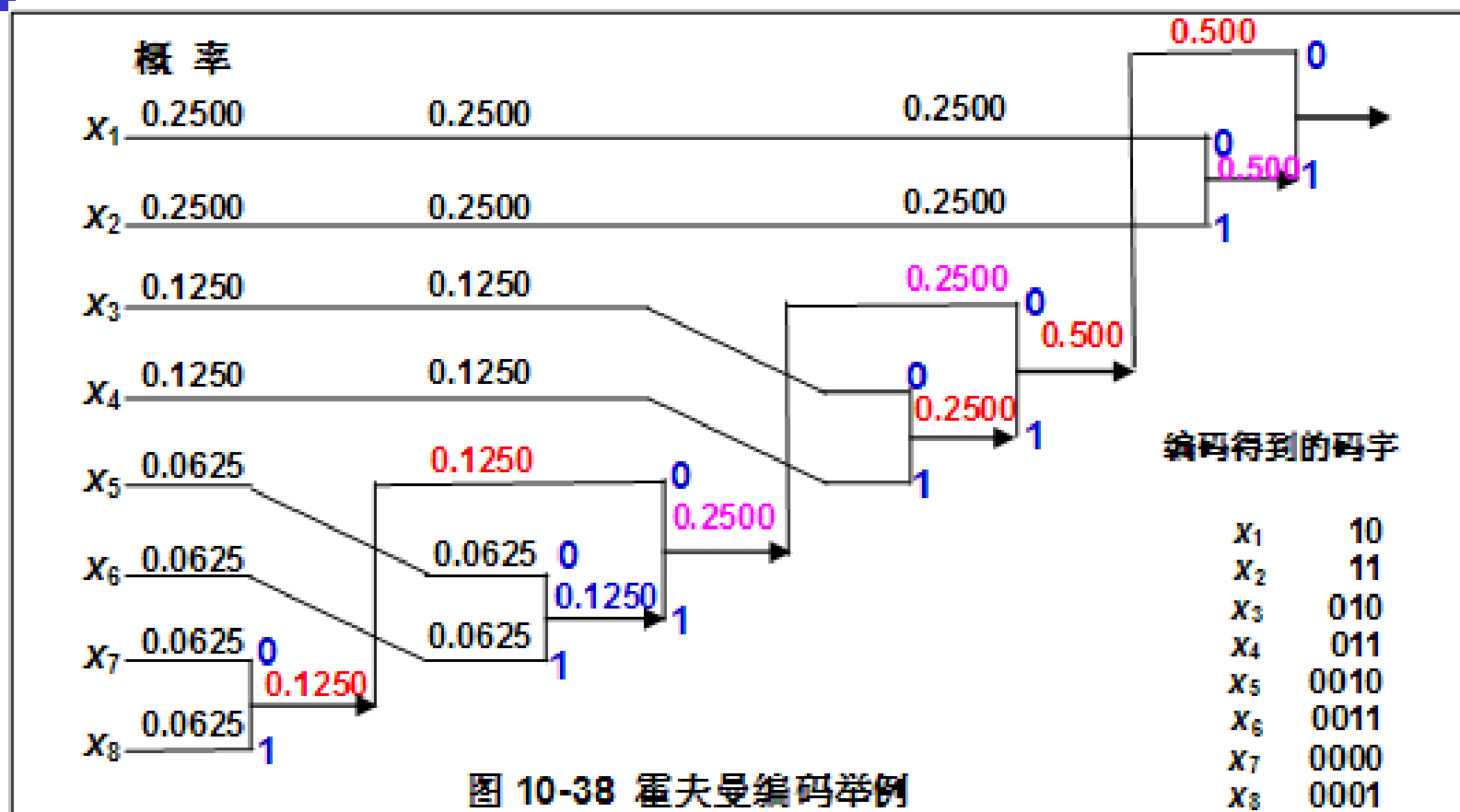
$m'(t)$ 是译码积分器输出波形；

$e(t)$ 是低通滤波前的量化噪声，
变化区间为 $(-\sigma, +\sigma)$ 。



第10章 信源编码

(4) Huffman编码



第11章 差错控制编码

• 重点内容

(1) 码距和检纠错能力的关系

- 一种编码的最小码距 d_0 的大小直接关系着这种编码的检错和纠错能力
- 为检测 e 个错码, 要求最小码距 $d_0 \geq e + 1$
- 为了纠正 t 个错码, 要求最小码距 $d_0 \geq 2t + 1$
- 为纠正 t 个错码, 同时检测 e 个错码, 要求最小码距

$$d_0 \geq e + t + 1 \quad (e > t)$$



第11章 差错控制编码

(2) 线性分组码、循环码

生成矩阵、校验矩阵、许用码组的计算
课后习题

第12章 正交编码与伪随机序列

重点内容——

(1) 伪随机序列

■ m 序列

- ◆ m 序列的产生原理图： m 序列是最长线性反馈移位寄存器序列的简称。它是由带线性反馈的移存器产生的周期最长的一种序列。

特征方程

$$f(x) = c_0 + c_1x + c_2x^2 + \cdots + c_nx^n = \sum_{i=0}^n c_i x^i$$

第12章 正交编码与伪随机序列

□ 本原多项式

➤ 定义：若一个 n 次多项式 $f(x)$ 满足下列条件：

$f(x)$ 为既约的；

$f(x)$ 可整除 $(x^m + 1)$, $m = 2^n - 1$;

$f(x)$ 除不尽 $(x^q + 1)$, $q < m$;

则称 $f(x)$ 为本原多项式。

➤ 由定理12.4可以简单写出一个线性反馈移存器能产生 m 序列的充要条件为：**反馈移存器的特征多项式为本原多项式。**

第12章 正交编码与伪随机序列

- 【例】要求用一个4级反馈移存器产生 m 序列，试求其特征多项式。

这时， $n = 4$ ，故此移存器产生的 m 序列的长度为 $m = 2^n - 1 = 15$ 。由于其特征多项式 $f(x)$ 应可整除 $(x^m + 1) = (x^{15} + 1)$ ，或者说，应该是 $(x^{15} + 1)$ 的一个因子，故我们将 $(x^{15} + 1)$ 分解因子，从其因子中找 $f(x)$ ：

$$(x^{15} + 1) = (x^4 + x + 1)(x^4 + x^3 + 1)(x^4 + x^3 + x^2 + x + 1)(x^2 + x + 1)(x + 1)$$

$f(x)$ 不仅应为 $(x^{15} + 1)$ 的一个因子，而且还应该是一个4次本原多项式。上式表明， $(x^{15} + 1)$ 可以分解为5个既约因子，其中3个是4次多项式。可以证明，这3个4次多项式中，前2个是本原多项式，第3个不是。因为

$$(x^4 + x^3 + x^2 + x + 1)(x + 1) = (x^5 + 1)$$



第12章 正交编码与伪随机序列

$$(x^4 + x^3 + x^2 + x + 1)(x + 1) = (x^5 + 1)$$

这就是说, $(x^4 + x^3 + x^2 + x + 1)$ 不仅可整除 $(x^{15} + 1)$, 而且还可以整除 $(x^5 + 1)$, 故它不是本原的。于是, 我们找到了两个4次本原多项式: 和。由其中任何一个都可以产生 m 序列, 用作特征多项式构成的4级反馈移存器就是上图中给出的。

➤ 本原多项式表

由上述可见, 只要找到了本原多项式, 我们就能由它构成 m 序列产生器。但是寻找本原多项式并不是很简单的。经过前人大量的计算, 已将常用本原多项式列成表备查。在下表中列出了部分已经找到的本原多项式。

- 
-
- **主要的应用：
单程测量法、扩展频谱通信等等**



第13章 同步原理

1. 重点内容

- (1) 同步的分类以及各类的基本原理
- (2) 主要的码元同步方法